

Zakład Badawczo Leczniczy Chorób Nerwowo – Mięśniowych
Instytut Medycyny Doświadczalnej i Klinicznej PAN
ul.Pawińskiego 5, 02-106 Warszawa
Tel/ fax /4822/ 608 65 26

Badanie wycinka mięśniowego w mikroskopie świetlnym i elektronowym

Nr: 10/13

Imię i nazwisko :

Wiek:48

Rozpoznanie: Podejrzenie zapalenia wielomięśniowego

Data pobrania wycinka: 20 II 2013r.

Mięsień: quadriceps sin

Barwienie: H-E, trichrom Gomoriego, DHB, DHM, DPNH, ATP-azy

W pobranym wycinku włókna mięśniowe o różnej średnicy wymieszane nieregularnie między sobą tworzą pęczki oddzielone znaczną ilością tkanki łącznej. Włókna wykazują cały wachlarz zmian strukturalnych jak martwice, struktury autofagalne, zaniki, liczne nacieki zapalne z udziałem limfocytów i makrofagów. Słabo zaznaczony podział włókien na typy metaboliczne z powodu ich degradacji.

Wnioski: obraz morfologiczny wycinka wskazuje na zaawansowane uszkodzenie pierwotnie mięśniowe z różnicowaniem między zapaleniem wielomięśniowym, a zapaleniem wtórnym.

Analiza ultrastrukturalna wykazała znaczne uszkodzenie struktury włókien mięśniowych z obecnością komórek nacieku limfoidalno-makrofagowego.

Wnioski: cechy zapalenia wielomięśniowego

Prof.dr hab. A. Fidziańska - Dolot

4714926

Prof. dr hab. med.
Anna Fidziańska-Dolot
specjalista neurolog
02-758 Warszawa
ul. Neseberska 3 m. 41

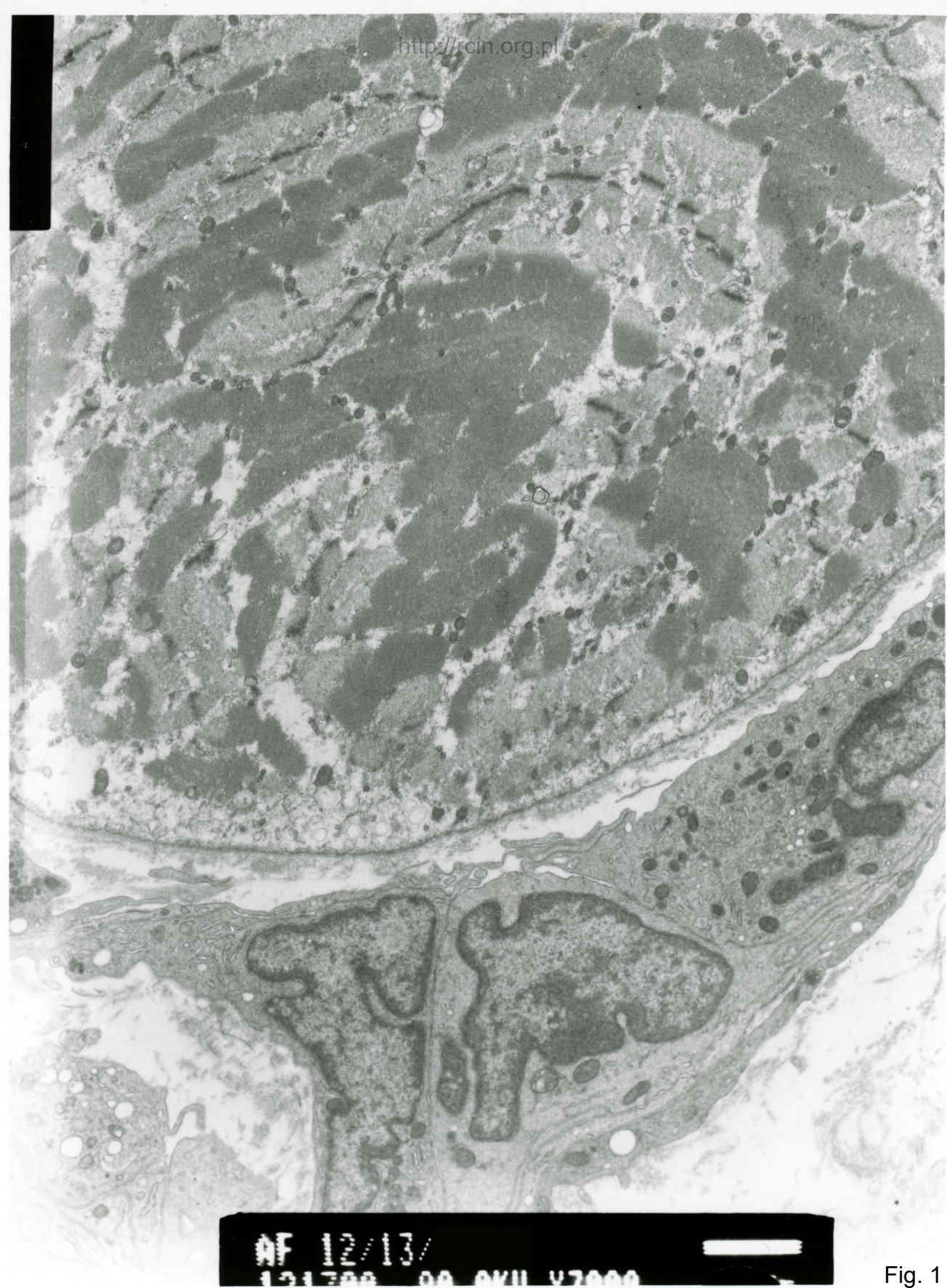
Przypadek: Nr 10/13 (12/13 ME)

Rozpoznanie: Podejrzenie zapalenia wielomięśniowego

Fig. 1-8. Uszkodzenie struktury włókna mięśniowego z obecnością nacieku limfoidalno-makrofagowego

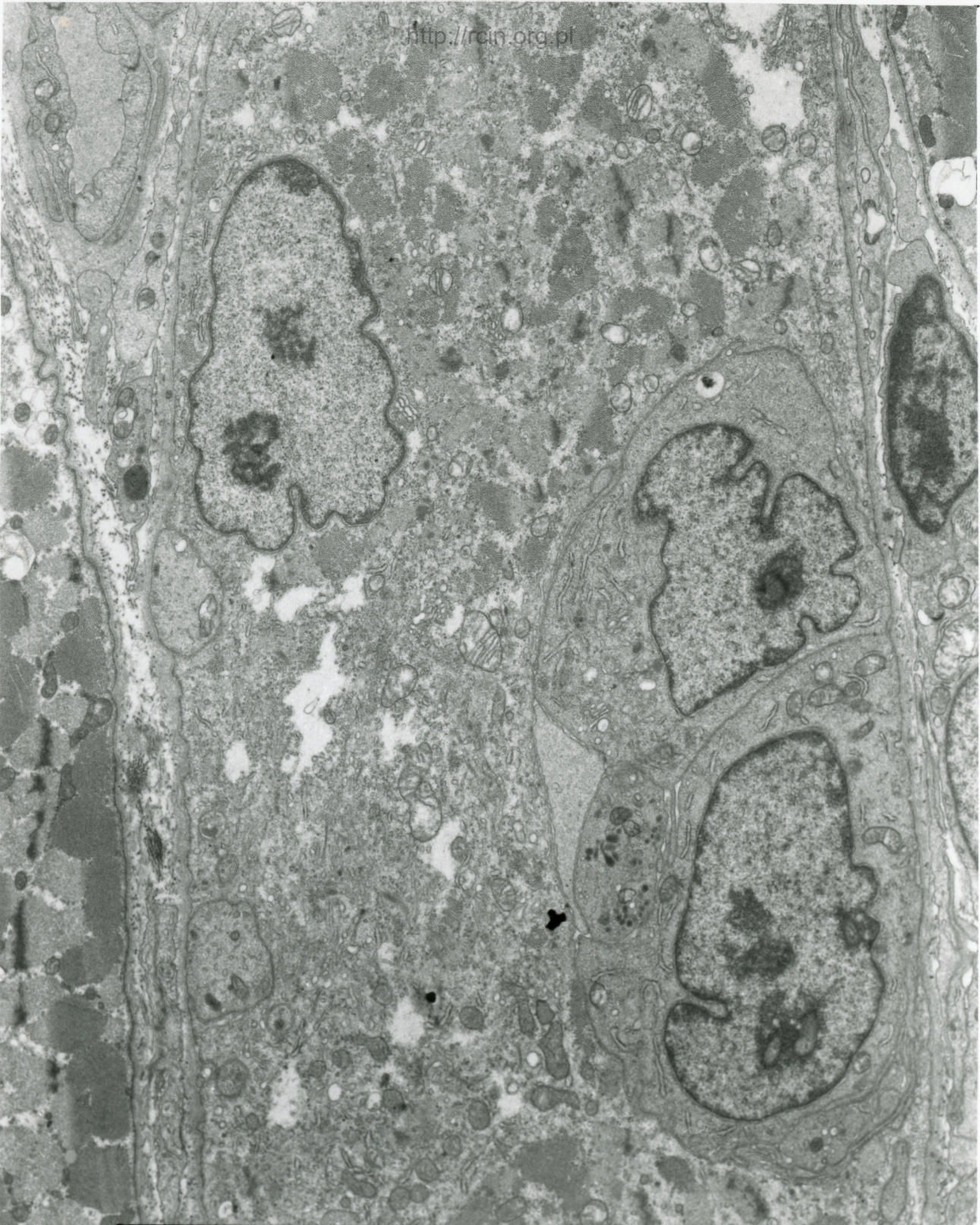
Summary

An 48-year-old patient with suspected polymyositis was examined. A biopsy of quadriceps sinister was performed. Ultrastructural assessment showed morphological changes within muscle fibers and infiltration of lymphoid cells and macrophages (Figs. 1-8).



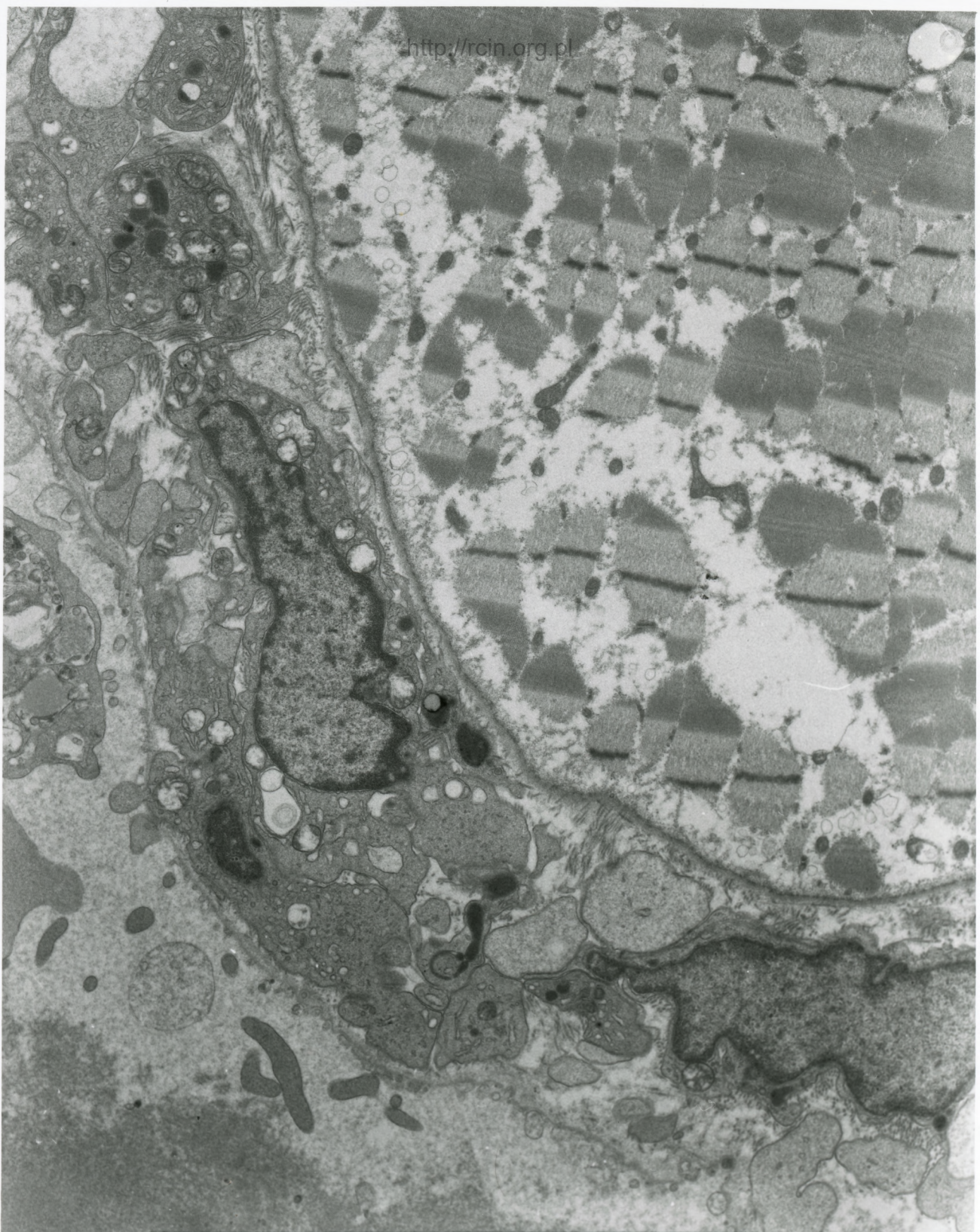
AF 12/13/
121700 00 AKU X7000

Fig. 1



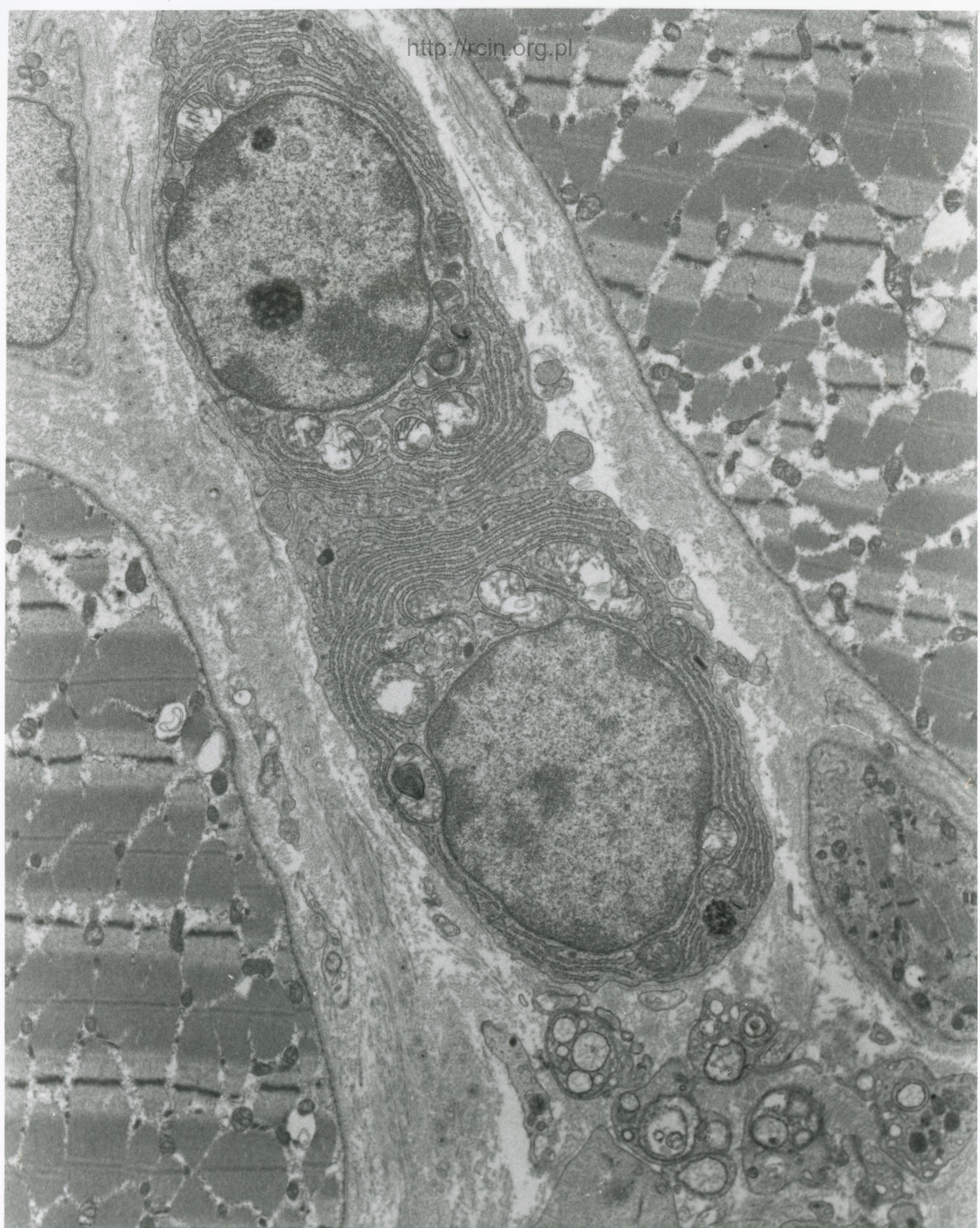
AF 12/13/
121707 80.0KV X3000 2µm

Fig. 2



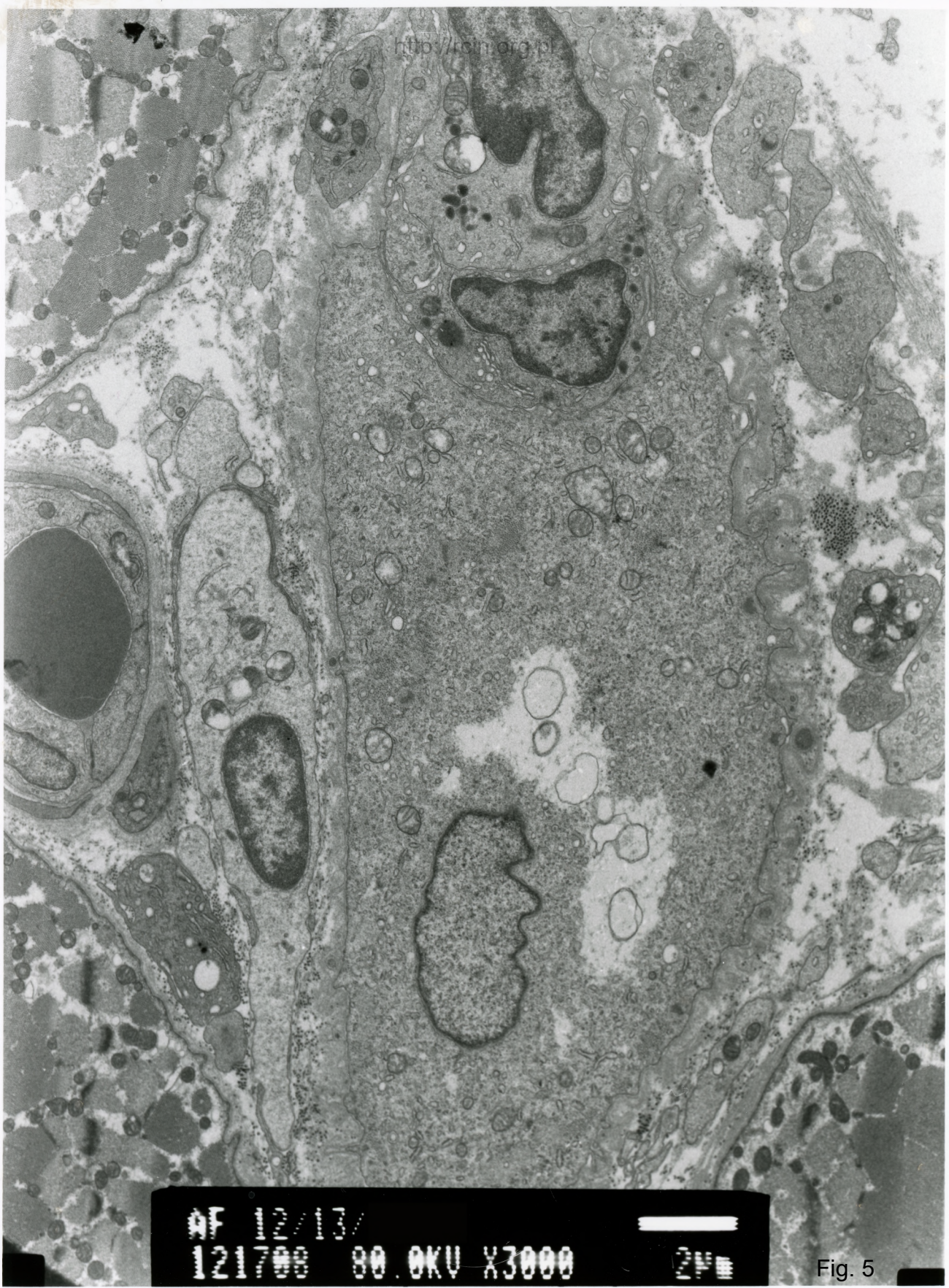
AF 12/13/
121702 80.0KV X3000

Fig. 3



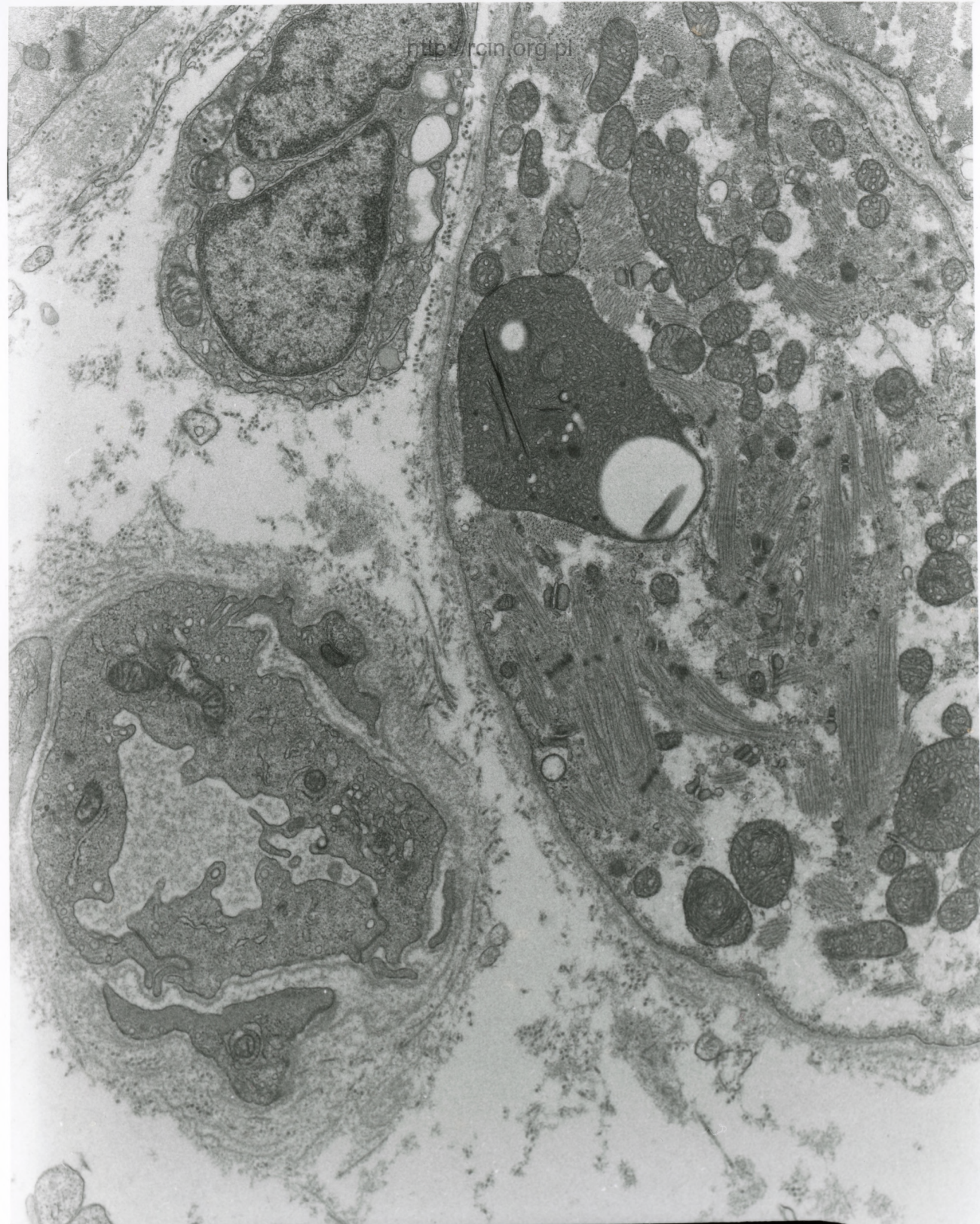
AF 12/13/
121703 00.0KV X3000 2µm

Fig. 4



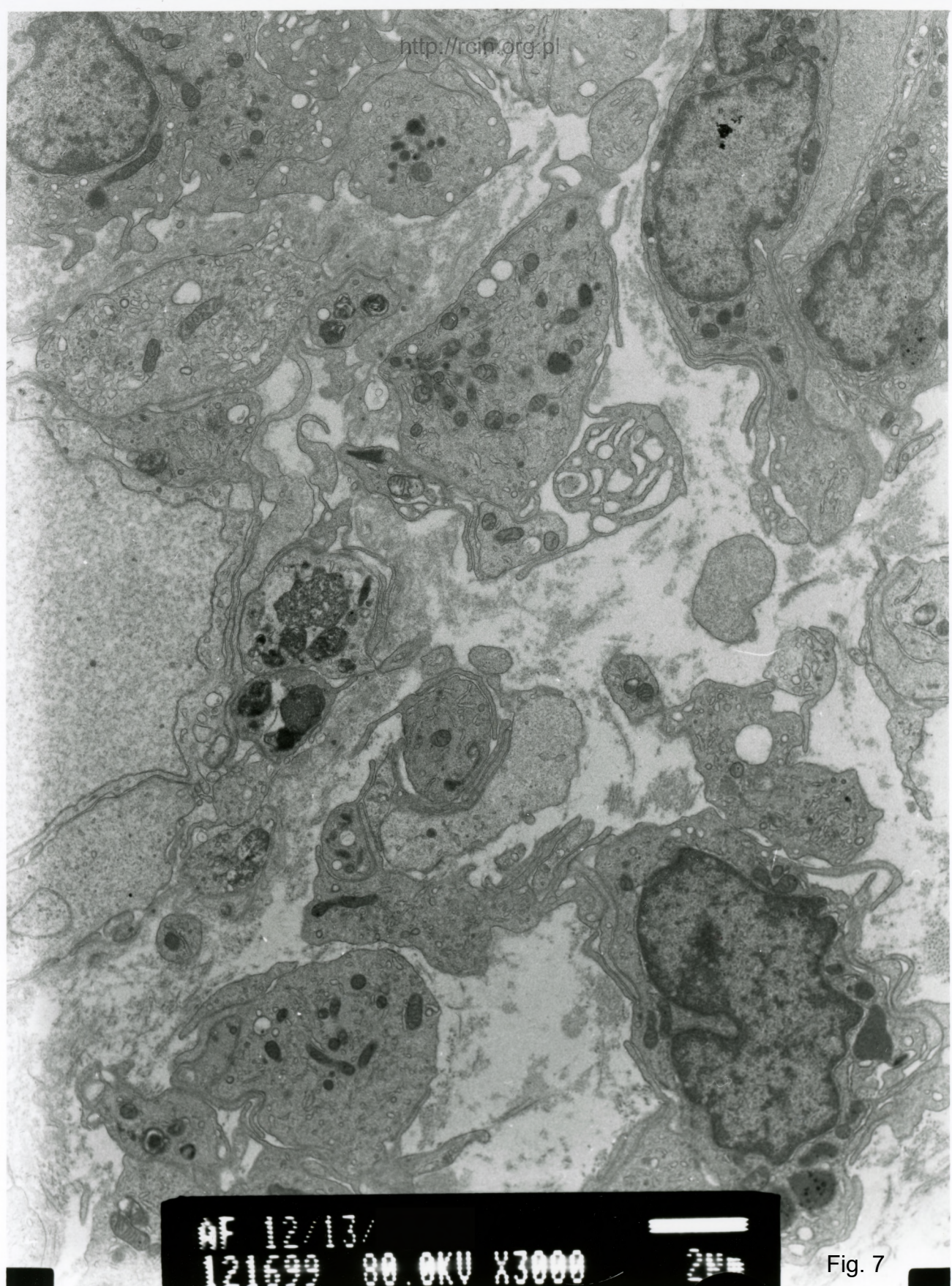
AF 12/13/
121700 80.0KV X3000 2µm

Fig. 5



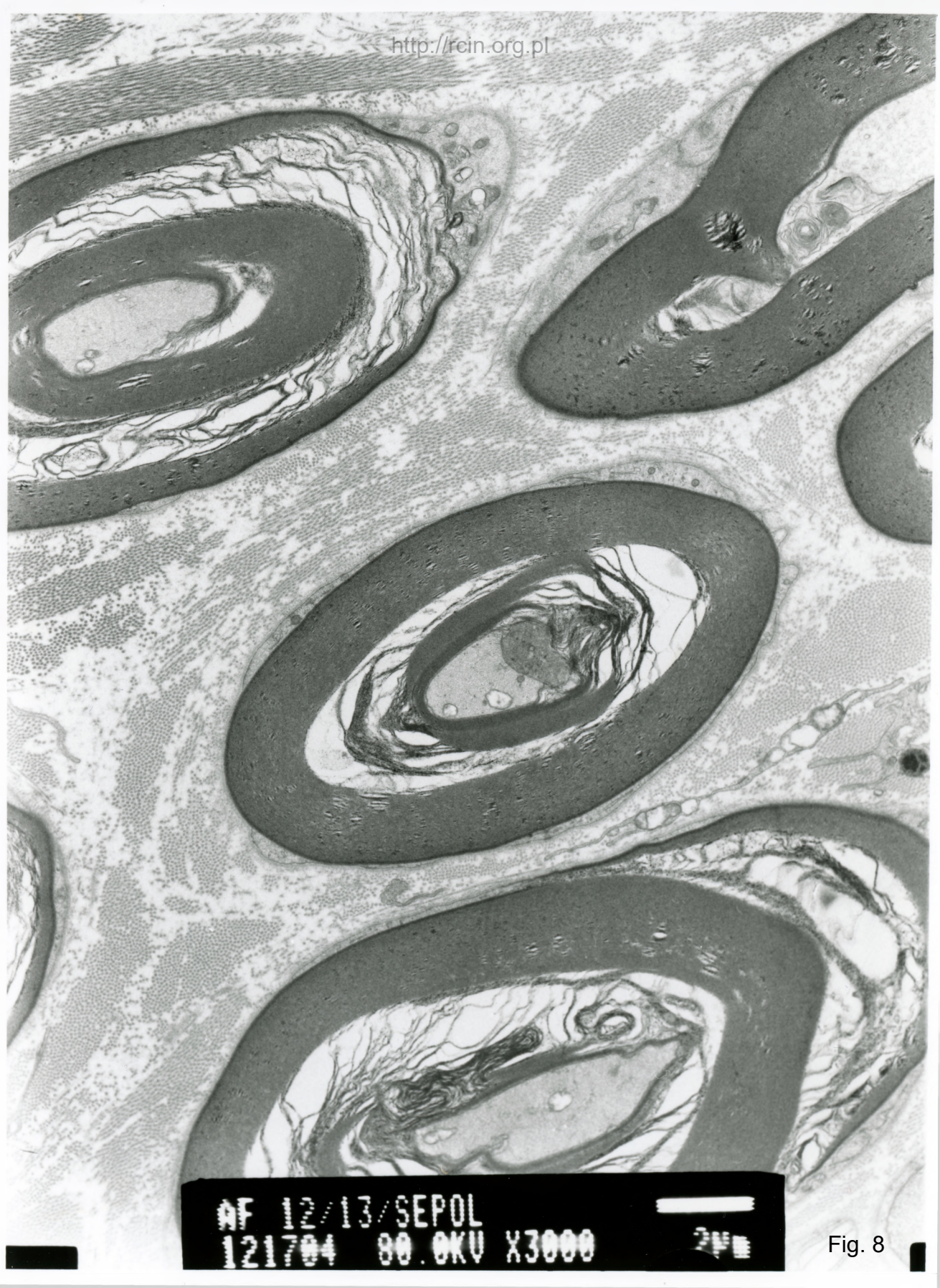
AF 12/13/SEPOL
121706 80.0KV X5000

Fig. 6

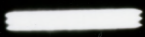


AF 12/13/
121699 80.0KV X3000 2µm

Fig. 7



AF 12/13/SEPOL
121704 80.0KV X3000



2µm

Fig. 8